

تأثیر نانوذرات دی اکسید تیتانیوم بر روی ویژگیهای مکانیکی و خواص انتقالی بسته بندیهای پلی اتیلن ترفتالات (PET)

مهدی فرهودی^{۱*}، سید محمد موسوی^۲، رحمت ستوده قره باغ^۳، زهرا امام جمعه^۴،

عبدالرسول ارومیه‌ای^۵

۱- استادیار گروه علوم و صنایع غذایی، انسستیتو تحقیقات تغذیه‌ای و صنایع غذایی کشور، دانشکده علوم تغذیه و صنایع غذایی، دانشگاه علوم پزشکی شهید بهشتی، تهران، ایران،

۲- استاد گروه علوم و صنایع غذایی، دانشکده مهندسی و فناوری کشاورزی، پردیس کشاورزی و منابع طبیعی، دانشگاه تهران، تهران، ایران

۳- استاد دانشکده مهندسی شیمی، پردیس دانشکده های فنی، دانشگاه تهران، تهران، ایران

۴- استاد گروه علوم و صنایع غذایی، دانشکده مهندسی و فناوری کشاورزی، پردیس کشاورزی و منابع طبیعی، دانشگاه تهران، تهران، ایران

۵- دانشیار پژوهشکده پلیمر و پتروشیمی ایران، تهران، ایران

(تاریخ دریافت: ۹۳/۴/۱۴ تاریخ پذیرش: ۹۳/۱۱/۵)

چکیده

امروزه نانوذرات جایگاه گسترده‌ای در صنایع غذایی بویژه صنعت بسته بندی پیدا کرده‌اند. حضور این مواد در ساختار ماده بسته بندی می‌تواند سبب بهبود ویژگیهای مکانیکی، حرارتی و نفوذپذیری ماده بسته بندی شود. در این بررسی از نانوذرات TiO_2 در ساختار بسته بندیهای پلی اتیلن ترفتالات استفاده شد. برای تولید فیلمهای نانوکامپوزیتی، اختلاط نانوذرات با PET به روش مخلوط کردن مذاب انجام شد. مورفولوژی این فیلمها با استفاده از میکروسکوپ الکترونی روشی (SEM) بررسی شد. شفافیت فیلمها با استفاده از اسپکتروفوتومتری مرئی-فرابنفش و نفوذپذیری فیلمها نسبت به پخار آب با استفاده از روش وزنی ارزیابی شد. خواص حرارتی نانوکامپوزیت‌ها با استفاده از روش کالریمیتری روشی افتراقی (DSC) و بررسی ویژگیهای مکانیکی با استفاده از تست کشش انجام شد. نتایج آزمایشها نشان داد که میزان عبور نور از فیلمهای نانوکامپوزیتی در محدوده مرئی و ماوراء بنتش در مقایسه با پلیمر خالص کاهش پیدا کرد. حضور نانوذرات بویژه در سطح ۰.۳٪ سبب افزایش درجه بلورینگی نانوکامپوزیتهای حاصل شده و در ارتباط با خواص مکانیکی حضور نانوذرات TiO_2 در ماتریس PET سبب افزایش چقرمگی نانوکامپوزیت شد. پارامترهای انرژی اتصال و ازدیاد طول در نقطه شکست معیارهای مرتبط با چقرمگی پلیمر هستند. افزایش نانوذرات تاثیر قابل ملاحظه‌ای در کاهش نفوذپذیری فیلمهای PET نسبت به پخار آب داشت. بطور کلی افزودن نانوذرات TiO_2 سبب بهبود ویژگیهای مکانیکی و حرارتی بسته بندیهای PET شده و نفوذپذیری فیلمها را به علت طولانی کردن مسیر عبور گازها کاهش می‌دهد. بهبود ویژگیهای ماده بسته بندی می‌تواند نقش مؤثری در افزایش زمان ماندگاری مواد غذایی داشته باشد.

کلید واژگان: بسته بندیهای نانوکامپوزیتی، نفوذ پذیری، خواص مکانیکی، پلی اتیلن ترفتالات، نانوذرات دی اکسید تیتانیوم

*مسئول مکاتبات: farhoodi@sbmu.ac.ir

به پرکردن داغ دارند امکان انجام این عمل در دماهای بالاتر فراهم می شود. همچنین کاربرد ذرات نانو با هدف کاهش مواد پلیمری مصرفی نقش موثری در کاهش هزینه و انرژی صرف شده برای تولید خواهد داشت. بطور کلی می توان گفت بسته بندیهای دارای ذرات نانو خواص مکانیکی، ممانعت کنندگی، حرارتی و خواص فیزیکوشیمیابی بهتری نسبت به بسته بندیهای معمول دارند. بالطبع محصولات غذایی بسته بندی شده با این ترکیبات کیفیت خود را تا مدت زمان بیشتری حفظ کرده و زمان ماندگاری آنها افزایش خواهد یافت. پلی اتیلن ترفتالات یک ماده بسته بندی پلاستیکی است که دارای کاربرد فراوان در صنایع غذایی است. ماهیت خشی بودن این ترکیب از نظر شیمیابی همراه با دیگر خواص فیزیکی، این ماده را برای بسته بندی مواد غذایی بسیار مناسب ساخته است. پلی اتیلن ترفتالات بطور معمول برای بسته بندی آب معدنی، نوشابه ها، ماء الشعیر و روغنها خوراکی مورد استفاده قرار می گیرد [۴]. هدف این پژوهش این است که تاثیر نانوذرات کروی TiO_2 بر روی خواص ظروف بسته بندی PET مورد ارزیابی قرار گیرد. در این بررسی خواص حرارتی، ویژگیهای مکانیکی و نفوذ پذیری نانوکامپوزیتهای PET/ TiO_2 بررسی شده و نتایج حاصله با پلیمر خالص مورد مقایسه قرار گرفت.

۲- مواد و روشها

۲-۱- مواد لازم

در این بررسی از گرانولهای پلی اتیلن ترفتالات (گرید بطری^۲) با ویسکوزیته ذاتی $g\text{ dl/g}$ $0/۸۲$ به عنوان پلیمر پایه مورد استفاده قرار گرفت. گرانولها از مجتمع پتروشیمی شهید تندگویان و نانوذرات TiO_2 از شرکت نانوش (آمریکا) تهیه شدند و قطر متوسط ذرات ۲۰ نانومتر بود.

۲-۲- آماده سازی نانوکامپوزیتهای PET

نانوکامپوزیتهای PET دارای ۱ ، ۳ و ۵ ٪ نانوذرات TiO_2 از طریق مخلوط کردن مذاب در یک اکسترودر دو مارپیچه غیر هم جهت (مدل (Collin ESC-T10) با قطر مارپیچ ۵۰ میلیمتر و

۱- مقدمه

اولین و بزرگترین هدف از بسته بندی مواد غذایی محافظت محصول و حفظ کیفیت آنها می باشد. برای رسیدن به این هدف بسته بندی مواد غذایی می بایست نفوذپذیری بسیار کمی به اکسیژن، نور و ترکیبات مسئول عطر و طعم غذا داشته باشد. نفوذ پذیری کمتر نسبت به گازها منجر به افزایش مدت ماندگاری مواد و جلوگیری از تغییرات کیفی آنها می شود [۱]. امروزه کاربرد علم فناوری نانو در جنبه های مختلف صنایع غذایی حائز اهمیت است. کاربرد این فناوری بخصوص در صنایع بسته بندی، اینمنی و بهینه سازی فرآوری مواد غذایی مورد توجه خاص قرار گرفته است. از جنبه تولید محصولات غذایی ایجاد ارزش افزوده فناوری نانو می تواند منجر به بهبود سلامتی، ایجاد طعم و مزه بهتر و نیز افزایش ماندگاری ماده غذایی از طریق اصلاح ساختار ماده بسته بندی باشد.

گسترش فناوری نانو در صنایع غذایی بویژه در بسته بندی سبب ظهور ترکیبات نانوکامپوزیتی در بسته بندی مواد غذایی و دیگر سطوح در تماس با غذا شده است [۲]. استفاده از پوششهای محافظ و بسته بندی مناسب به خاطر افزایش زمان ماندگاری محصولات غذایی همواره از موضوعات قابل توجه در صنایع غذایی بوده است. انتخاب صحیح ماده بسته بندی این امکان را بوجود می آورد که کیفیت و تازگی محصول در طی زمان لازم برای توزیع و مصرف حفظ شود. پلیمرهای دارای ذرات نانو دارای خاصیت ممانعت کنندگی بالایی هستند به این علت که این ذرات قادرند مسیر پیچیده تری را جهت نفوذ سایر مولکولها ایجاد کنند. به عنوان مثال در ارتباط با محصولات حساس به اکسیژن نظیر روغن، حضور ترکیبات نانو در ماده بسته بندی ماده سبب کاهش سرعت انتقال اکسیژن^۱ به داخل بسته بندی ماده غذایی می شود. در ارتباط با پلیمرهایی که خواص مکانیکی ضعیفی دارند، حضور ترکیبات نانو در ساختار ماده بسته بندی سبب بهبود خواص مکانیکی آنها شده و استحکام و مقاومت آنها را افزایش می دهد [۳].

از طرفی استفاده از ذرات نانو در ساختار بسته بندی ماده غذایی سبب بهبود مقاوت حرارتی شده و در مورد محصولاتی که نیاز

1. Oxygen Transfer Rate

2. Bottle grade

۲-۵- کالریمتری روبشی افتراقی (DSC)

ویژگیهای ذوب و کریستالیزاسیون نمونه‌ها با استفاده از دستگاه DSC 200 F3 Maia[®] کالریمتری روبشی افتراقی مدل NETZSCH ساخت کشور آلمان انجام شد. آزمایش در محدوده دمایی ۲۵°C تا ۲۷۰°C درجه سانتیگراد و با سرعت ۱۰ °C/min ± انجام شد. درجه بلورینگی نمونه‌ها با استفاده از معادله ذیل حاصل شد:

(رابطه ۲)

$$X_C = \left(\frac{\Delta H_m}{\Delta H_{m0}} \right) \times 100$$

که در این معادله ΔH_{m0} آنتالپی ذوب پلی اتیلن ترفتالات با درجه بلورینگی ۱۰۰٪ و ΔH_m آنتالپی $(\Delta H_m = 105.97 \text{ J/g})$ و ΔH_{m0} ذوب نمونه هاست.

۶-۲- آزمون نفوذ پذیری به بخار آب

آزمون نفوذ پذیری با استفاده از روش بشقابی طبق استاندارد ASTM E 96 [۶] و با استفاده از کلرید کلسیم بدون آب به عنوان ماده جاذب رطوبت استفاده شد. نمونه‌های بدست آمده از روش پرس حرارتی که دارای ضخامت ۰.۱۶ ± ۰.۰۱ میلیمتر بودند در آون ۱۲۰ درجه سانتیگراد به مدت ۲۴ ساعت خشک شدند. سپس نمونه‌ها بصورت دایره‌ای با قطر $28/7 \text{ cm}^2$ بریده شدند. آزمایش نفوذ پذیری به بخار آب در دمای ۳۰ درجه سانتیگراد و رطوبت نسبی ۷۵٪ صورت گرفت. ابتدا درون سل های مورد استفاده در آزمون نفوذ پذیری، کلرید کلسیم بدون آب ریخته و سپس سطح سل‌ها به وسیله فیلم مورد آزمایش پوشانده و کاملاً درزبندی شد. سل‌ها درون دسیکاتور حاوی آب نمک اشباع قرار گرفتند. بدین ترتیب درون سل‌ها رطوبت نسبی صفر درصد و بیرون سل‌ها با استفاده از آب نمک اشباع رطوبت نسبی ۷۵ درصد ایجاد شد. اختلاف رطوبت در دو سمت فیلم در دمای ۳۰ درجه سانتیگراد، فشار بخاری معادل ۳۱۸۵ پاسکال (جدول ۱) ایجاد می‌کند. تغییرات وزن سل‌ها طی زمان با استفاده از یک ترازوی دیجیتال با دقت ۰.۰۰۰۱ گرم اندازه گیری شده و در نهایت ضریب نفوذ پذیری بخار آب بر حسب $\text{g.m}/(\text{m}^2.\text{pa.h})$ با استفاده از رابطه ذیل محاسبه گردید:

نسبت طول به قطر ۱۵ تهیه شدند. اکسترودر حاوی ۵ ناحیه حرارتی و یک بخش قالبگیری (die) بود که به ترتیب در دماهای ۲۵۰، ۲۷۰، ۲۷۵، ۲۷۰، ۲۶۵ و ۲۶۵ درجه سانتیگراد تنظیم شدند و سرعت مارپیچ اکسترودر در ۹۰ دور بر دقیقه تنظیم شد. قبل از فرایند اکستروژن اجزای نانوکامپوزیت در یک آون ۱۷۰ درجه سانتیگراد به مدت ۵ ساعت خشک شدند. نانوکامپوزیتهای حاصل از فرایند اکستروژن با آب خنک شده و بوسیله یک دستگاه آسیاب به صورت گرانول درآمدند.

۳-۲- ساخت فیلم

برای تولید فیلم از دستگاه پرس حرارتی استفاده شد. گرانولهای پلیمری در داخل قالب ساخت فیلم قرار گرفته و بین صفحات دستگاه به دمای ذوب (۲۷۰ درجه سانتیگراد) رسیدند. سپس توسط دستگاه، فشار ۲۵ مگاپاسکال بر روی صفحات حاوی نمونه اعمال شده و اجزاء داده شد نمونه به مدت یک دقیقه در این دما و فشار باقی بماند تا شکل قالب را به خود بگیرد. سپس فشار را برداشته و با حریان آب سرد دمای قالب و نمونه داخل آن به دمای محیط کاهش یافت.

۴-۲- طیف سنجی فرابنفش و مرئی (UV-Visible)

طیف فرابنفش-مرئی با استفاده از اسپکتروفوتومتر مدل Analytik- Jena Specord 250 PLUS از هر فیلم سه نمونه بریده شده و برای آزمایش طیف سنجی مورد استفاده قرار گرفت. در روش طیف سنجی هرچه تعداد مولکولهای جاذب نور با طول موج معین بیشتر باشد، مقدار جذب نور نیز افزایش می‌یابد. این روش بر پایه قانون بیر-لامبرت استوار است (رابطه ۱):

(رابطه ۱)

$$A = \log \left(\frac{I_0}{I} \right) = \epsilon \cdot c \cdot l$$

در این رابطه I_0 شدت نور ورودی، I شدت نور خروجی، C غلظت مولی جزء حل شونده، L طول سل حاوی نمونه و ϵ قدرت جذب مولی است. عبارت A به عنوان مقدار جذب یا چگالی نوری شناخته می‌شود.

شکل با استفاده از دستگاه کشش Galdabini Sun2500 (ساخت کشور ایتالیا) بدست آمد. کشیدن نمونه با سرعت ۵ mm/min انجام شد. هر نمونه حداقل در ۵ تکرار مورد آزمایش قرار گرفت. خواص مکانیکی مورد آزمایش استحکام کششی، ازدیاد طول در نقطه شکست، مدول الاستیستیه و انرژی اتلاف بودند. مقایسه میانگین داده‌ها بر اساس آزمون دانکن با استفاده از نرم افزار SAS نسخه ۹/۱ در سطح احتمال ۵ درصد انجام گرفت.

۸-۲- میکروسکوپ الکترونی روبشی (SEM)

به منظور بررسی نحوه توزیع نانوذرات در شبکه پلیمر تصاویر میکروسکوپ الکترونی از سطح مقطع عرضی نمونه‌ها تهیه شد. صفات نانوکامپوزیتی ساخته شده بوسیله دستگاه میکروسکوپ الکترونی روبشی (FE-SEM)^۱ مدل S-4160 Hitachi تحت شرایط ولتاژ تشدید شده ۱۵ kV مورد بررسی قرار گرفتند. سطح نمونه‌ها قبل از بررسی توسط دستگاه SEM با لایه طلا پوشش داده شد.

۹-۲- روش‌های آماری

اختلاف بین تیمارهای مختلف بر اساس آزمایش فاکتوریل در قالب طرح کاملاً تصادفی با استفاده از تحلیل واریانس (ANOVA) در سطح احتمال ۵ درصد تعیین شد. مقایسه میانگین داده‌ها بر اساس آزمون دانکن با استفاده از نرم افزار SAS نسخه 9.1 در سطح احتمال ۵ درصد انجام گرفت. تیمارهای مورد بررسی شامل فیلمهای PET فاقد نانوذرات دی اکسید تیتانیوم (PET0) و فیلمهای PET دارای ۱٪ (PET1)، ۳٪ (PET3) و ۵٪ (PET5) نانوذرات دی اکسید تیتانیوم بودند.

۳- نتایج و بحث

۱-۳- مورفولوژی

تصاویر SEM حاصل از برش عرضی نمونه‌های نانوکامپوزیتی در شکل ۱ نشان داده شده است. تصاویر نشان دهنده این است که زمانی که ۱ و ۳ درصد از نانوذرات TiO₂ به ماتریس پلیمر افزوده می‌شود توزیع ذرات همگن و یکنواخت است ولی زمانی

$$P = \frac{\frac{t A}{P_s (RH_1 - RH_2)}}{100} \cdot L$$

در این رابطه L ضخامت فیلم (متر)، m مقدار افزایش وزن فیلم پلیمری (گرم)، t زمان لازم برای افزایش وزن (ساعت)، A سطح نمونه فیلم (متر مربع)، P_S فشار بخار اشباع (پاسکال) در دمای آزمایش، RH₁ رطوبت نسبی ایجاد شده در محفظه آزمایش و RH₂ رطوبت نسبی موجود در طرف خشک فیلم که برابر با صفر در نظر گرفته می‌شود. فشار بخار آب در رطوبت نسبی ۷۵ درصد و در دماهای مختلف در جدول ۱ نشان داده شده است.

جدول ۱ فشار بخار آب در رطوبت نسبی ۷۵ درصد در محدوده دمایی ۰-۱۰۰ °C

دما (°C)	فشار بخار مطلق (Pa)
۰	۴۵۸/۳
۵	۶۵۴/۴
۱۰	۹۲۱/۰
۲۰	۱۷۵۴
۳۰	۳۱۸۵
۴۰	۵۵۳۹
۵۰	۹۲۶۵
۶۰	۱۴۹۶۲
۷۰	۲۳۴۰۱
۸۰	۳۵۵۴۷
۹۰	۵۲۵۶۲
۱۰۰	۷۵۸۰۳

به دلیل اینکه هدف این آزمایش بررسی حضور نانوذرات در نفوذپذیری پلیمر بوده است نمونه‌های فیلم تهیه شده در این آزمایش پس از خروج از دستگاه پرس حرارتی بلافضله وارد آب سرد شدند تا از کریستاله شدن نمونه‌ها جلوگیری شود.

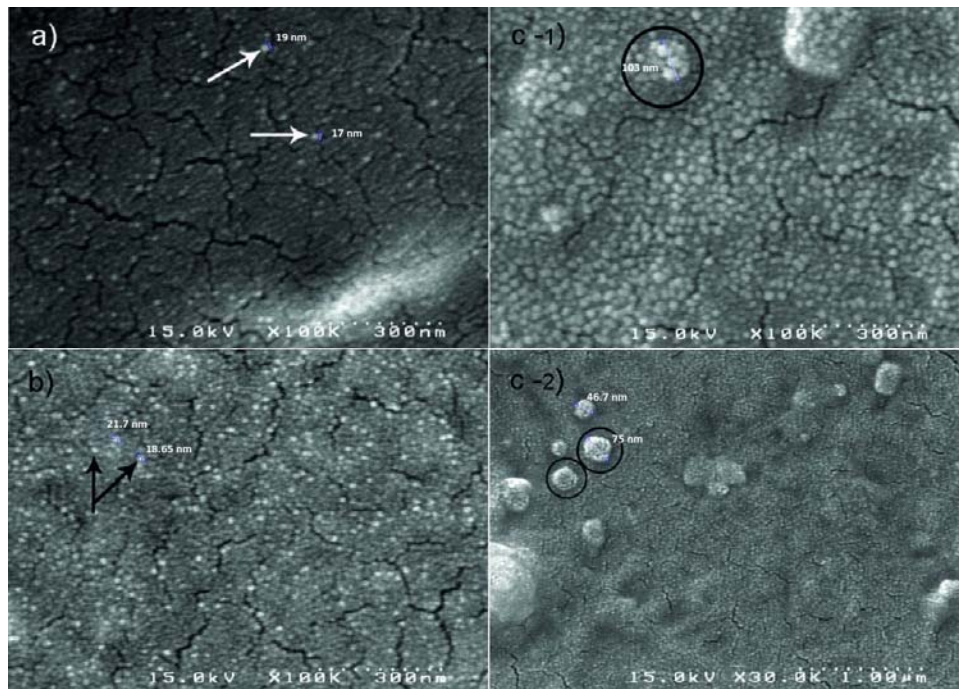
۷-۲- آزمون کشش

منحنی‌های تنش-کرنش از طریق آزمونهای کشش تک محوری (طبق استاندارد ASTM D638^[۳]) بر روی نمونه‌های دمبلي

1. Field emission scanning electron microscopy

می یابد خوشه های ایجاد شده در محدوده $50\text{--}100\text{ nm}$ به چشم می خورد. خوشه ای شدن نانوذرات می تواند بر روی ویژگیهای نانوکامپوزیت و همچنین خواص مرزی (نفوذپذیری) فیلم حاصله تاثیر گذارد.

که درصد نانوذرات به ۵٪ افزایش می یابد ذرات TiO_2 تمایل به خوشه ای شدن دارند. همانطور که در شکل نشان داده شده است در سطوح ۱ و ۳٪ اندازه ذرات منفرد TiO_2 در محدوده $17\text{--}21\text{ nm}$ است ولی زمانی که اندازه نانوذرات به ۵٪ افزایش



شکل ۱ میکروگرافهای SEM از سطوح نانوکامپوزیتهای PET دارای ۱(a)، ۰.۵٪ (b) و ۳٪ (c-1) و ۰.۵٪ (c-2) TiO_2

شکل ۲ نشان دهنده کاهش قابل ملاحظه در میزان عبور نور فیلمهای نانوکامپوزیتی در مقایسه با فیلم پلیمری خالص است. کاهش شفافیت در نانوکامپوزیتهای TiO_2 مربوط به ماهیت کدر کننده ذاتی دی اکسید تیتانیوم است. اگرچه توزیع نامناسب نانوذرات در غلظتهای بالاتر می تواند عامل دیگری در کاهش عبور نور در فیلمهای نانوکامپوزیتی باشد.

Espejo و همکاران (۲۰۱۲) مشاهده کردند که حضور ۲٪ از نانوذرات ZnO ، SiO_x ، TiO_2 و LDPE بترتیب از ۸۷/۵٪، ۳۲/۷٪، ۸۳/۲۵٪ و ۷۵/۱۸٪ کاهش دادند. در این بررسی بیشترین کاهش در عبور پرتو ماوراء بنفش در مورد نانوکامپوزیتهای TiO_2 دیده شده است [۸].

۲-۳- خواص نوری

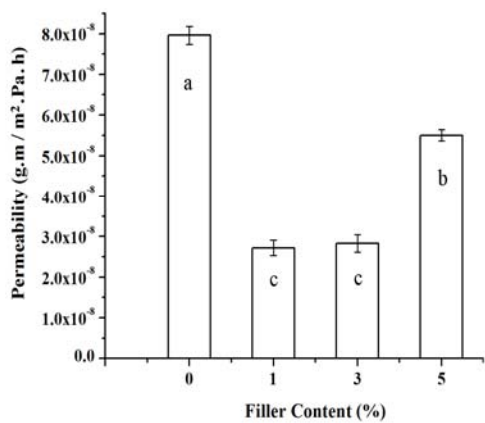
شکل ۲ طیف ماوراء بنفش-مرئی را برای فیلمهای تولید شده نشان می دهد. تاثیر نانوذرات TiO_2 بر روی عبور نور ۱ فیلمهای نانوکامپوزیتی در محدوده ماوراء بنفش (۴۰۰-۴۵۰ نانومتر) و محدوده مرئی (۴۰۰-۸۰۰ نانومتر) قابل مشاهده است. میزان عبور

در محدوده UV کمتر از ۳۰۰ نانومتر صفر است.

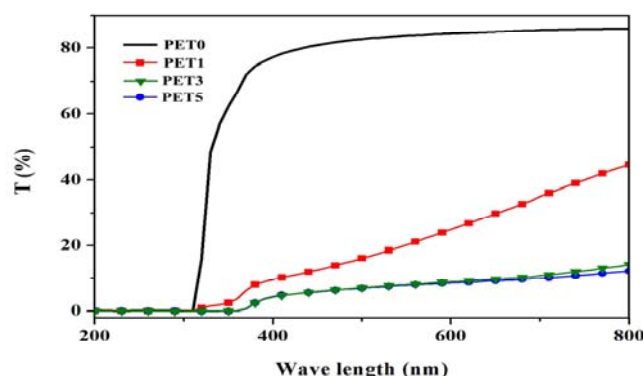
جدول ۲ مقادیر داده های عبور^۱ را برای PET خالص و نانوکامپوزیتهای PET نشان می دهد. میزان عبور در ۳۷۰، ۵۰۰، ۶۵۰ و ۸۰۰ نانومتر ثبت شده است. نانوذرات سبب کاهش قابل ملاحظه در عبور نور مرئی شدند بطوری که نور مرئی در طول موج ۵۰۰ نانومتر از مقادیر بالای ۸۰٪ به کمتر از ۲۰٪ در نانوکامپوزیتهای PET رسید.

1.Optical Transmission
2. Transmittance data

میزان نفوذ پذیری کاسته شده و این کاهش بیشتر در نانو کامپوزیتهای حاوی ۱ و ۳٪ نانو ذرات به چشم می خورد. نانو ذرات وقتی در ساختار پلیمر قرار می گیرند یک مسیر پر پیچ و خم به وجود می آورند و در نتیجه مولکول های نفوذ کننده برای عبور از عرض فیلم باید مسیر طولانی تری را طی کنند که منجر به افزایش زمان عبور این مولکولها از عرض فیلم می شود. افزودن نانو ذرات در سطح ۱ و ۳٪ تأثیر بهتری را در کاهش نفوذ پذیری فیلم حاصل به بخار آب داشته است. در نانو کامپوزیتهای PET1 و PET3 توزیع نانو ذرات در ماتریس پلیمر یکنواخت است در حالیکه افزایش نانو ذرات به ۰.۵٪ سبب ایجاد توده های با اندازه بزرگ و توزیع غیر یکنواخت می شود. نانو ذرات زمانی که در ماتریس پلیمری توزیع یکنواخت دارند خاصیت ممانعت کننده در برابر رطوبت بهتری را در مقایسه با حالت توده ای نانو ذرات ایفا می کنند به همین دلیل نفوذ پذیری فیلمهای نانو کامپوزیتی نسبت به بخار آب در PET5 دارای ۵ درصد دی اکسید تیتانیوم بیشتر از PET دارای ۱ و ۳٪ نانو ذرات دی اکسید تیتانیوم است.



شکل ۳ تغییرات ضریب نفوذ پذیری در نانو کامپوزیتهای مختلف (ستونهای نشان داده شده با حروف متفاوت در سطح $P < 0.05$ با یکدیگر اختلاف معنی دار دارند).



شکل ۲ طیف UV و مرئی مربوط به فیلمهای نانو کامپوزیتی PET0: فیلمهای PET فاقد نانو ذرات دی اکسید تیتانیوم، PET1: فیلمهای PET دارای ۱٪ نانو ذره، PET3: فیلمهای PET دارای ۳٪ نانو ذره، PET5: فیلمهای PET دارای ۰.۵٪ نانو ذره

در بررسی Sunay و همکاران (۲۰۱۲) نیز شفافیت فیلمهای پلی استایرن زمانی که از نانو ذرات TiO_2 در شبکه پلیمر استفاده شد، کاهش پیدا کرد [۹]. بطور کلی شفافیت نانو کامپوزیتها وابسته به ماهیت ماتریس پلیمری و اندازه و نحوه توزیع نانو ذرات است. در مقادیر بالای افزودن نانو ذرات TiO_2 ، تمایل نانو ذرات به انباشتگی^۱ منجر به کاهش قابل ملاحظه در شفافیت فیلمها می شود.

۳-۳- نفوذ پذیری

از آنجایی که آب از عوامل مهم در واکنش های فاسد کننده مواد غذایی می باشد، سرعت عبور بخار آب (WVTR)^۲ و نفوذ پذیری نسبت به بخار آب (WVP)^۳ از ویژگی های مهم در پلیمرهای بسته بندی مواد غذایی، محسوب می شود. میزان نفوذ پذیری به بخار آب و سرعت عبور بخار آب از فیلم ها تحت تأثیر طبیعت آبدوست یا آبگریز مواد، فرایند ساخت، نوع، مقدار و نحوه توزیع افروزنده های مورد استفاده، وجود حفرات، شکاف ها، پیچ و خم و در نهایت نظم در ساختار پلیمر می باشد [۱۰]. نتایج بدست آمده از اندازه گیری میزان نفوذ پذیری فیلم های PET و نانو کامپوزیت های آن در شکل ۳ آورده شده است. در نتیجه الحال نانو ذرات به ماتریس پلیمری، به طور معنادار از

1 - agglomeration

2 - Water Vapor Transmission Rate

3 - Water Vapor Permeation

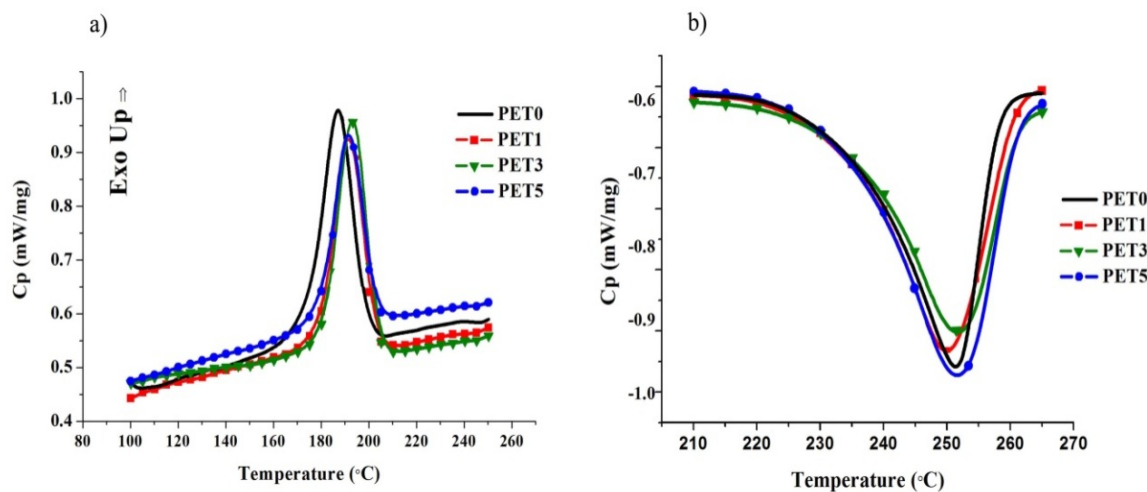
جدول ۲ داده های عبور برای فیلم PET خالص و نانوکامپوزیتهای

نمونه	میزان عبور (%)			
	۸۰۰ nm	۶۵۰ nm	۵۰۰ nm	۳۷۰ nm
PET0	۸۵/۹۸	۸۴/۹۷	۸۲/۷۷	۷۲/۰۴
PET1	۴۴/۶۴	۲۹/۸۳	۱۶/۱۲	۶/۲۲
PET3	۱۴/۲۵	۹/۷۲	۷/۰۴	۰/۸۰
PET5	۱۲/۲۰	۹/۲۰	۷/۸۹	۰/۶۷

*: فیلمهای PET فاقد نانو ذرات دی اکسید تیتانیوم، PET0: فیلمهای PET دارای ۱٪ نانو ذره، PET1: فیلمهای PET دارای ۳٪ نانو ذره، PET3: فیلمهای PET دارای ۵٪ نانو ذره

خالص، دمای کریستالیزاسیون نانوکامپوزیت (T_c) به سمت دماهای بالاتر میل می کند.

۴-۳- خواص حرارتی: منحنی های گرم کردن و سرد کردن نمونه خالص PET و نانوکامپوزیتهای TiO_2 بترتیب در شکل ۴ (a) و (b) نشان داده شده است. در مقایسه با



شکل ۴- منحنی های DSC مربوط به PET خالص و نانوکامپوزیتهای (b) سیکل گرم کردن (a) سیکل سرد کردن PET/TiO₂ *: فیلمهای PET فاقد نانو ذرات دی اکسید تیتانیوم، PET0: فیلمهای PET دارای ۱٪ نانو ذره، PET1: فیلمهای PET دارای ۳٪ نانو ذره، PET3: فیلمهای PET دارای ۵٪ نانو ذره

مقایسه با پلیمر خالص افزایش می یابد ولی زمانی که مقدار TiO_2 به ۵٪ افزایش می یابد X_c تمايل به کاهش دارد. همانطور که مشاهده می شود نمونه دارای ۳٪ وزنی TiO_2 بالاترین درصد کریستالیزاسیون (X_c) را داشته است.

طبق نتایج مربوط به دمای انتقال شیشه ای (T_g) که در جدول ۳ نشان داده شده است، با افزایش مقدار TiO_2 در ماتریس پلیمر تغییر قابل توجهی در مقدار T_g مشاهده نمی شود. از طرفی با افزایش مقدار TiO_2 درصد کریستالیزاسیون نانوکامپوزیتها در

جدول ۳ نتایج آنالیز DSC مربوط به نانو کامپوزیتهای مختلف PET

ΔH_c (J/g)	T_c (°C)	X_c (%)	ΔH_m (J/g)	T_m (°C)	T_g (°C)	نمونه
۳۷/۷۳	۱۸۷/۵	۳۳/۴۸	۳۵/۴۸	۲۴۹/۲	۸۰/۵	PET0
۳۵/۶۲	۱۹۱/۸	۳۳/۰۴	۳۵/۰۲	۲۵۰	۷۹/۳	PET1
۳۸/۱۲	۱۹۳/۲	۳۹/۷۸	۴۲/۰۵	۲۴۹/۹	۸۰/۷	PET3
۳۵/۸۳	۱۹۱/۸	۳۲/۳۶	۳۴/۳	۲۵۰	۸۰/۸	PET5

PET0: فیلمهای PET فاقد نانو ذرات دی اکسید تیتانیوم، PET1: فیلمهای PET دارای ۱٪ نانو ذره، PET3: فیلمهای PET دارای ۳٪ نانو ذره، PET5: فیلمهای PET دارای ۵٪ نانو ذره

می توانند یک ممانعت فیزیکی در برابر حرکت زنجیره های پلیمری ایجاد کنند. بنابراین تجمع نانو ذرات رشد پلیمرها را محدود کرده و منجر به کاهش درصد کریستالیزاسیون می شود.

۵-۳- آزمون مکانیکی

اگرچه با افزایش نانو ذرات افزایش در مدول الاستیک به چشم می خورد ولی مقادیر بالای انحراف معیار سبب هم پوشانی نتایج شده و تعییر قابل ملاحظه ای در مدول الاستیک مشاهده نمی شود (جدول ۴).

در ارتباط با خواص حرارتی، بالا رفتن دمای کریستالیزاسیون نانو کامپوزیت نسبت به پلیمر خالص ممکن است به خاطر اثر هسته زایی غیرهمگن سطوح نانو ذرات بر روی کریستالیزاسیون ماکر و مولکولهای PET باشد [۱۱]. عدم تغییر دمای انتقال شیشه ای نانو کامپوزیتها نسبت به پلیمر خالص ممکن است به خاطر اتصال ضعیف ایجاد شده بین زنجیره های پلیمری PET و و نانو ذرات TiO_2 باشد. در ارتباط با ویژگی بلورینگی می توان گفت در مقادیر بالای نانو ذرات (سطح ۵٪ نانو ذره)، تحرک زنجیره های پلیمری تا حد زیادی محدود می شود. نانو ذرات

جدول ۴ ویژگیهای مکانیکی PET خالص و نانو کامپوزیتهای آن

ازدیاد طول در نقطه شکست (%)	انرژی اتلاف ^۱ (ژول)	مدول الاستیک (Mpa)	استحکام کششی (Mpa)	
۳/۸ ± ۰/۴۴ ^c	۵/۲ ± ۱/۱۷ ^d	۲۴۶۷/۲ ± ۶۸/۵ ^a	۵۹/۶ ± ۲/۹ ^a	PET0
۴/۷ ± ۰/۶۳ ^c	۲۱/۵ ± ۴/۲۸ ^b	۲۴۸۷/۷۹ ± ۷۸/۶ ^a	۲۸/۳ ± ۴/۶ ^c	PET1
۹/۴ ± ۱/۳ ^a	۲۸/۳ ± ۳/۱۴ ^a	۲۵۶۱/۳ ± ۸۸/۷ ^a	۳۰/۷ ± ۲/۰ ^{b,c}	PET3
۷/۱ ± ۰/۵۶ ^b	۱۵/۳ ± ۲/۴۸ ^c	۲۵۷۲/۸ ± ۵۳/۳ ^a	۳۶/۹ ± ۵/۲ ^b	PET5

* مقادیر با حروف متفاوت بر اساس آزمون دانکن در سطح $P < 0/05$ در هر ستون با یکدیگر اختلاف معنی دار دارند.

PET0: فیلمهای PET فاقد نانو ذرات دی اکسید تیتانیوم، PET1: فیلمهای PET دارای ۱٪ نانو ذره، PET3: فیلمهای PET دارای ۳٪ نانو ذره، PET5: فیلمهای PET دارای ۵٪ نانو ذره

۴- نتیجه گیری

بطور کلی می توان گفت سطوح کمتر نانوذرات سبب توزیع یکنواخت تر نانوذرات در ماتریس ماده بسته بندی و حصول ویژگیهای بهتر شود، در حالی که خوش ای شدن نانوذرات سبب افت خواص مکانیکی (کاهش چقرمگی پلیمر پس از رسیدن به یک حد اپتیمم) و خواص ممانعت کنندگی پلیمر (افزایش نفوذپذیری پلیمر در مقایسه با سطوح کم نانوذرات) می شود. استفاده از نانوذرات TiO_2 سبب کاهش شفافیت ماده بسته بندی می شود. این موضوع می تواند در ارتباط با مواد غذایی حساس به نور نظر رونگهای خوراکی مفید واقع شود. از طرفی تولید نانوکامپوزیتهای PET/TiO₂ کاهش قابل ملاحظه در نفوذ پذیری ماده بسته بندی را به دنبال داشت. افزایش سرعت کریستاله شدن در حضور نانوذرات در فرایند تولید بطریهای PET حائز اهمیت است و همچنین بهبود چقرمگی ماده بسته بندی در حضور نانوذرات می تواند فرایند شکل گیری بطریها را در زمان قالبگیری دمشی تسهیل نماید.

۵- منابع

- [1] Robertson, G., Food packaging: principles and practice1993: Marcel Dekker.
- [2] Azeredo, H., Nanocomposites for food packaging applications. *Food Research International*, 2009. 42(9): p. 1240-1253.
- [3] Arora, A. and G. Padua, Review: nanocomposites in food packaging. *Journal of Food science*, 2010. **75**(1): p. R43-R49.
- [4] Mutsuga, M., et al., Survey of formaldehyde, acetaldehyde and oligomers in polyethylene terephthalate food-packaging materials. *Food Additives and contaminants*, 2005. 22(8): p. 783-789.
- [5] Yamada T, et al., Crystallization characteristics of PET/TiO₂ nanocomposites. *Material Science*, 2006. 2: p. 154-160.
- [6] Standard, A., Standard test methods for water vapor transmission of materials. Annual book of ASTM standards. Designation E96-E80, 1989: p. 730-739.
- [7] Standard, A., D638: Standard Test Method for Tensile Properties of Plastics. ASTM International, West Conchohocken, 2008.

استحکام کششی نانوکامپوزیتها در مقایسه با پلیمر خالص کاهش یافته است که این پدیده ممکن است به علت نقش ممانعت کنندگی نانوذرات در کریستالیزاسیون ناشی از کرنش¹ زنجیره های پلیمری بعد از کشش سرد² باشد.

همانطور که مشاهده می شود پارامتر افزایش طول در نقطه شکست و میزان اتلاف انرژی یا چقرمگی³ پس از افزودن نانوذرات TiO_2 افزایش یافته است.

در ارتباط با کاهش استحکام کششی پلیمر در حضور نانوذرات می توان به این نکته اشاره کرد که پدیده کریستالیزاسیون ناشی از کرنش نقش اساسی در پایداری پلیمرها در مقابل موضعی شدن کرنش و ایجاد شکستگی دارد [۱۲]. بنابراین نانوذرات به عنوان ذرات سخت غیرهمگن می توانند مقاومت ماتریس پلیمری را در پابرجا شکسته شدن کاهش دهنند. افزایش چقرمگی نانوکامپوزیتهای PET/TiO₂ ممکن است به علت ایجاد مکانیسمهای جدید اتلاف انرژی در حضور نانوذرات باشد [۱۳].

از این مکانیسم ها می توان مکانیسم شکستن خوشه ها، پدیده تشکیل ریزحفره ها در فصل مشترک، تغییر مسیر رشد ترک ها و تغییر شکل ماتریس را نام برد. تنشی که سبب شکست (ایجاد ریزحفره ها) می شود در مقایسه با تنش ایجاد شده در ساختار پلیمر خالص مقدار آن کمتر است. بنابراین تشکیل خوشه های ریز ایجاد ترک را تسهیل کرده و در نتیجه تعداد شکافهای بیشتری ایجاد می شود که نقش مثبت در مکانیزم اتلاف انرژی و چقرمگی دارند. هنگامی که اندازه ذرات بزرگتر شده و خوشه ها شکل می گیرند مساحت ناحیه فصل مشترک پلیمر/ذره موجود برای اتلاف انرژی کاهش می یابد بنابراین تنش بحرانی برای جدایش فصل مشترک پلیمر/ذره نیز کاهش می یابد که این می تواند دلیل رسیدن به یک حد اپتیمم از چقرمگی (در سطح ۷۳٪ نانوذرات TiO_2) و کاهش چقرمگی در سطوح بالاتر باشد. تحقیقات مشابه نشان داده است که حضور TiO_2 در ماتریس PET می تواند سبب افزایش پارامتر افزایش طول در نقطه شکست باشد [۱۴].

-
- 1. Strain hardening
 - 2.Cold drawing
 - 3. Ductility

- nanocomposites. European Polymer Journal, 2006. 42(5): p. 1128-1134.
- [12] Mergler, Y. and R. Schaake, Relation between strain hardening and wear resistance of polymers. Journal of applied polymer science, 2004. 92(4): p. 2689-2692.
- [13] Sun, L., et al., Energy absorption capability of nanocomposites: a review. Composites Science and Technology, 2009. 69(14): p. 2392-2409.
- [14] Todorov, L. and J. Viana, Characterization of PET nanocomposites produced by different melt based production methods. Journal of applied polymer science, 2007. 106(3): p. 1659-1669.
- [8] Espejo, C., et al., Nanocomposite films with enhanced radiometric properties for greenhouse covering applications. Journal of plastic film and sheeting, 2012. 28(4): p. 336-350.
- [9] Sunay, M.S., O. Pekcan, and S. Ugur, The effect of film thickness and TiO₂ content on film formation from PS/TiO₂ nanocomposites prepared by dip-coating method. Journal of Nanomaterials, 2012. 2012: p. 16.
- [10] Váscone, M.B., et al., Antimicrobial activity and physical properties of chitosan-tapioca starch based edible films and coatings. Food Research International, 2009. 42(7): p. 762-769.
- [11] He, J.-P., et al., In situ preparation of poly (ethylene terephthalate) -SiO₂

Effect of TiO₂ nanoparticles on mechanical and transport properties of polyethylene terephthalate (PET) packages

Farhoodi, M. ^{1*}, Mousavi, M. ², Sotudeh-Gharebagh, R. ³, Emam-Djomeh, Z. ⁴, Oromiehie, A. R. ⁵

1. PhD Assistant prof, Department of Food Science and Technology, National Nutrition and Food Technology Research Institute, Faculty of Nutrition and Food Technology, Shahid Beheshti University of Medical Sciences, Tehran, Iran.

2. PhD Professor, Department of Food Science & Engineering, Faculty of Agricultural Engineering, University of Tehran, Karaj, Iran

3. PhD Professor, School of Chemical Engineering, College of Engineering, University of Tehran, Tehran, Iran

4. PhD Professor, Department of Food Science & Engineering, Faculty of Agricultural Engineering, University of Tehran, Karaj, Iran

5. PhD Associate Professor, Iran Polymer and Petrochemical Institute, Tehran, Iran
(Received: 93/4/14 Accepted: 93/11/5)

Nowadays the nanoparticles have been extensively developed in food industry, particularly food packaging systems. The incorporation of nanoparticles in the packaging material can improve the mechanical, thermal and barrier properties of the packaging material. In this study, polyethylene terephthalate (PET)/TiO₂ nanocomposites were prepared by melt blending of PET and TiO₂ nanoparticles. The morphology of the prepared nanocomposite films was investigated by scanning electron microscopy (SEM). UV-Visible spectroscopy was used to study the transparency of prepared films. Gravimetric method was employed for measuring water vapor permeability of films. Thermal and mechanical properties were performed using differential scanning calorimetry (DSC) and tension test, respectively. The transmittance decreased considerably in TiO₂ nanocomposites compared to neat polymer in both UV and visible range. The incorporation of nanofillers especially at 3% wt. loading level increased the crystallinity of PET. The results of mechanical test showed that the ductility of nanocomposites was enhanced compared to neat polymer. The parameters elongation at break and dissipated energy are measures of polymer ductility. Incorporation of nanoparticles into packaging material matrix noticeably decreased the water vapor permeability of PET. In general, TiO₂ nanoparticles improved the mechanical and thermal properties of PET packages. Gas permeability of prepared nanocomposite films decreased due to increased diffusion path. Improvement of packaging material characteristics could have an interactive role in extending the shelf life of foods.

Keywords: Nanocomposite packages, Permeability, Mechanical properties, Poly(ethylene terephthalate), Titanium dioxide nanoparticles

* Corresponding Author E-Mail Address: farhoodi@sbmu.ac.ir